

수소타운 정압기실 내 수소 누출 특성 연구

남태호 · 김동환 · 이정운[†] · 이승국 · 이연재

한국가스안전공사 가스안전연구원

A Study on Characteristics of Hydrogen Leakage in Hydrogen Town Governor Room

TAE-HO NAM, DONG-HWAN KIM, JUNG-WOON LEE[†], SEUNG-KUK LEE, YEON-JAE LEE

Institute of Gas Safety R&D, Korea Gas Safety Corporation 1390 Wonjung-ro,
Maengdong-myeon, Eumseong-gun, Chungcheongbuk-do, Korea

Abstract >> Hydrogen will be a future eco-friendly energy source that can replace current fossil fuels. However, when hydrogen gas leaks and people inhale a lot of hydrogen gases, they can have fatal effects and fall into comas. Therefore, we need to develop a safety technology and related guidelines for reducing risks of hydrogen leakage. In this regard, we carried out demonstration tests assuming a situation of hydrogen leakage. Before the experiments, we analyze the standards for governor facilities to check vent positions and sensor positions. Then, we select four types of ventilation structures and proceed with the experiments of hydrogen leakage at 1 LPM and 1.5 LPM. Based on the experimental results, we propose the direction on optimization of vent positions and sensor positions in the hydrogen leakage situation.

Key words : Hydrogen(수소), Leakage(누출), Hydrogen Town(수소타운), Governor Room(정압기실), Safety Management(안전관리)

1. 서 론

세계적으로 유한한 에너지원과 화석 에너지 사용에 따른 환경오염, 기후변화 등의 문제점에 기인하여 수소 에너지가 주목을 받으면서 석유 경제 시대를 넘어 수소 경제 시대를 맞이하고 있다. 수소는 에너지원뿐만 아니라 저장, 수송 및 이용에 이르기까지 다양한 방면으로 활용이 가능하여 세계 각국에서 관심을 두고 있으며, 향후 수소 경제에서 유일한 수소

이용기기인 수소연료전지 분야가 핵심을 이룰 것으로 예상된다^{1,2)}.

국내에서도 수소 경제 시대 도래에 대비하여 울산을 비롯하여 광주, 충남 등 여러 지자체에서 수소타운, 수소 충전소 구축 등을 추진하고 있다. 하지만 수소는 확산속도가 매우 빨라 대기 중에 누출 시에는 안전하지만 수소를 이송하는 배관이나 밀폐된 장소에서 누출 사고가 발생하는 경우에는 낮은 발화에너지 및 높은 연소 속도의 특성을 가진 수소에 의해 폭발 시 대형사고가 발생할 수 있다³⁻⁵⁾. 따라서 수소 에너지 확산 및 보급에 맞추어 안전기술의 개발이 필요한 실정이다.

[†]Corresponding author : wooni@kgs.or.kr

Received : 2016.**.** in revised form : 2016.**.** Accepted : 2016.**.**

Copyright © 2016 KHNES

울산은 정부의 신재생에너지 정책과 울산시의 부생수소를 활용한 실용화 사업을 접목하기 위해 세계 최대의 수소타운 시범사업을 수행하고 있다. 울산 수소타운 시범사업은 산업체 등에서 발생하는 순수수소를 이용하여 신규 연료전지 신시장 모델을 구현함으로써, 녹색국토 및 그린도시를 구현하고, 신성장산업을 육성하는 것이 목표이다. 따라서 1 kW급의 가정용 연료전지의 140세대 개별 보급, 5 kW급은 공공기관과 공용 전기 사용시설, 10 kW급은 체육관 등에 보급하여 수소타운을 구성하였다⁶⁾. 이렇게 구성된 수소타운은 부생수소를 수소 배관을 이용하여 수요 지역에 공급하는 시스템으로 되어 있다. 1 MPa 이상의 고압 가스시설의 안전관리는 ‘고압가스안전관리법’을 적용하여 운영하고 있으며, 1 MPa 미만의 저압 가스시설의 안전관리는 한국가스안전공사의 ‘도시가스사업법’의 세부규정인 ‘KGS FU551(도시가스 사용시설의 시설기술검사 기준(이하 KGS FU551))’, ‘KGS FS551(일반도시가스사업 제조소 및 공급소 밖의 배관시설기술검사정밀안전진단 기준(이하 KGS FS551))’, ‘KGS FS552(일반도시가스사업 정압기의 시설기술검사 기준(이하 KGS FS552))’를 기반으로 제정된 ‘수소타운 시범사업의 안전관리에 관한 지침’으로 운영되고 있다. 수소타운 지침의 경우 도시가스 사업법을 기반으로 하고 있어 수소의 특성에 적합하도록 운영 지침의 합리화가 필요하다고 판단된다⁷⁻¹⁰⁾.

본 논문에서는 울산 수소타운 내 정압기실의 센서 위치 최적화 및 환기구 영향에 대한 실험을 통해 정압기실 안전관리 방향성 제시 및 효율성 제고에 기여하고자 하였다.

2. 정압시설 안전관리

현재 울산 수소타운에 적용되고 있는 도시가스사업법 세부규정 중 하나인 KGS FS552 중 정압시설에 대한 안전 항목은 Table 1과 같다. 수소가 누출되는 경우에 폭발 등의 사고를 예방하기 위한 선제적 수

소 누출 검지 및 차단에 대한 안전기준의 적정성 검토는 향후 수소타운을 보급할 때 중요한 사항이라고 판단하였다.

국내외에는 가스누출경보기에 관한 기준들이 많이 있는데, 국내에는 수소 가스 누출이 감지되었을 때 60초 이내에 경보가 울리도록 되어 있다. 정압기실에는 수소 누출이 쉬운 설비 주위에 설치하도록 하고, 수소 가스는 공기보다 비중이 가벼워 누출된 장소의 상단에 체류하기 쉬워 가스누출경보기를 천정 또는 벽면의 상부에 설치하도록 하고 있다. 이에

Table 1 Criteria in KGS FS552

Items	Criteria Contents
2.7.2.1 Function of gas leak alarm system	1) A gas leak alarm system shall be able to detect gas leak, indicate its concentration, and raise the alarm 2) The alarm shall be automatically activated at a preset gas concentration level (not over 1/4 of the lower explosive limit).
2.7.2.3 Installation location of gas leak alarm system	1) The installation locations of detectors shall be where facilities prone to leak gas are installed and especially where leaked gas tends to remain in a governor room. 2) The installation locations of the detectors shall be the places suitable to gas property, surrounding circumstances, construction of the facility, Etc
2.7.2.4 Number of gas detectors	The number of detectors to be installed in a governor room shall be calculated on the basis of one detector per 20 m of the circumference of the floor area.
2.7.4.1 Ventilation openings shall be installed in accordance with the following standard:	Ventilation openings for gas lighter than air shall be installed in one of the following locations 1) Within 30 cm from the ceiling or the top of the wall 2) Within 30 cm from the top of the wall (or the ceiling) and within 30 cm from the floor surface of the opposite wall The area of a ventilation opening installed in contact with outdoor air shall conform to the following standard 1) The sum of the ventilation areas of the ventilation holes installed to be open to the outdoor air shall not be less than a value calculated on the basis of 300 cm ² per square meter of the floor area. However, in case wire screens are installed, the areas occupied by them shall be deducted in the calculation of ventilation areas

따라 정압기실에서의 가스누출경보기 설치 위치 및 수소 감지 농도 등과 환기구 영향 등의 항목들은 수소타운에 적용 중인 수소 압력조정설비 중 안전성 확인이 필요하다고 판단하였다. 본 연구에서는 실제 수소 사용시설 분석을 통해 제작된 저압수소 사용시설 모의 Test-Bed의 수소 누출 실증 시험을 통해 수소 누출 특성을 분석하고자 하였다. 주요 검토 항목은 가스누출경보기 기능, 가스누출경보기 설치장소, 가스누출경보기 설치 개수, 자연환기설비 등이 있는데 모의 Test-Bed 실증 시험을 통해 가스누출경보기의 적정 경보발생 시점, 가스누출검지기의 적정 설치장소, 자연환기기구의 구조 등을 설정하는 데 필요한 기초자료로 확보하고자 하였다^{11,12)}.

3. 모의 Test-Bed 실증 실험

가스누출경보기의 적정 설치장소 및 개수, 자연환기기구의 구조 등을 설정하는데 필요한 기초자료 확보를 위해 울산 수소타운의 정압기가 설치된 시설의 구조와 유사한 형태로 제작된 Test-Bed에서 전기화학센서를 이용하여 다양한 실증실험을 진행하였다. Fig. 1은 수소타운 내 정압기실의 수소 누출 특성을 분석하기 위하여 구축된 저압수소 모의 사용시설 Test-Bed 중 정압기실을 나타내고 있다. 위쪽 그림의 숫자 1은 감압시설이며, 숫자 2는 송풍기, 숫자 3은 데이터 로거, 숫자 4는 Power Supply, 숫자 5는 수소 용기를 나타내고 있으며, 아래쪽 그림은 감압시설인 정압기실 내부를 나타내고 있다. 모의 Test-Bed 내부의 수소 압력조정설비 중 저압부 구간을 지정하여 수소 누출 가능성이 가장 높은 밸브 등의 위치로 가정하여 누출부를 지정하였고 정확한 수소 유동을 유추하기 위해 국내에서 제작한 저농도 수소검지모듈을 압력조정설비함 상부에 균등한 간격으로 9개를 설치하여 실험하였다. 본 실증 시험에 사용된 수소 가스검지 모듈은 특정가스에 반응하는 전기화학식 (Electrochemical) 센서로 내장된 전극의 작용에 의해



Fig. 1 Test-Bed of Low-pressure Hydrogen Use Facilities

측정 대상 가스가 산화 또는 환원 반응을 일으킬 때 발생하는 전자의 양(전류)를 측정함으로써 가스의 농도를 검지한다. 수소 가스검지 모듈의 수소 측정 가능 범위는 0~1,000 ppm으로 상당히 저농도의 수소도 검지할 수 있는 능력을 가지고 있으며 농도는 DC전압 출력신호를 변환하여 나타낼 수 있다.

실증 실험 시 수소의 누출 조건으로는 유량을 1 LPM과 1.5 LPM의 2가지 경우로 하였고, 수소 누출 시간은 10분으로 하였다¹³⁾. Leak Point에서의 직경은 18 mm로 하였고, Power Supply에서는 전압을 5 V 인가하였다. 그리고 유풀을 가했는데, 유풀의 조건은 기상청에 있는 30년간의 평균 기후 자료를 활용하여

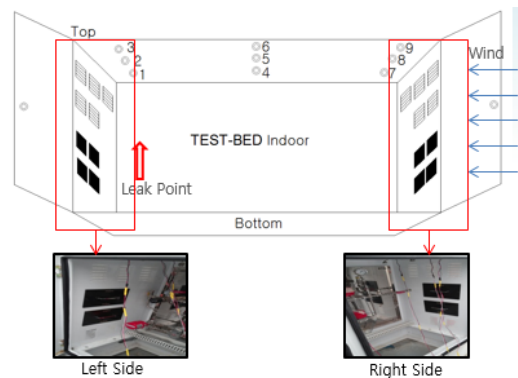


Fig. 2 Leak Points and Vents in Test-Bed

Table 2 Average Data of Seoul & Gyeonggi-do in 1981~2010

	Seoul	Suwon	Icheon	Yangp yeong	In cheon	Kang hwa	Dong du cheon	Baek ryeong do
TemperatureAvg (°C)	12.5	12.0	11.6	11.5	12.1	11.1	11.2	11.2
TemperatureMax (°C)	17.0	17.2	17.8	17.7	16.4	16.2	17.5	14.5
TemperatureMin (°C)	8.6	7.5	6.2	6.3	8.7	6.3	6.0	8.6
HumidityAvg (%)	64.4	69.6	66.7	70.5	68.6	70.2	66.5	69.9
WindspeedAvg (m/s)	2.3	1.7	1.3	1.2	2.9	1.7	1.6	4.9
annual amount of precipitation (mm)	1450.5	1312.3	1370.8	1438.2	1234.4	1346.7	1520.9	825.6

기준을 대한민국의 수도인 서울의 평균 풍속인 2.3 m/s로 유풂을 주었다¹⁴⁾. 본 저압수소 사용시설 모의 Test-Bed 실증 실험은 수소 압력조정설비 내 환기구의 위치에 따른 환기 성능 평가 및 수소 누출 농도에 따른 수소 센서의 감지 정도를 확인하여 수소 센서의 위치에 대한 실증 실험 등을 진행하였다.

3.1 환기구 크기 영향 분석

현재 수소타운 안전관리 지침에서 적용하고 있는 수소 압력조정설비의 자연환기구 크기는 바닥면의 3%이상으로 정하고 있어 실제 수소를 사용하는 시설에 적합한 환기구의 크기인지 확인이 필요하였다. 따라서 바닥면 대비 2%, 3%, 4%의 환기구가 좌우측 동일한 높이에 설치되어 있는 경우에 대한 실험을 6개 센서를 임의로 설치하여 진행하였으며 그 결과를 Fig. 3에 나타내었다. 1분 동안 수소를 누출시킨 후 30분 동안 수소누출 거동에 대한 결과를 보았으며 그 외에 외부에서 영향은 줄 수 있는 풍속의 조건은 0.3 m/s로 제한하였다. 바닥면 대비 2% 환기 시에는 센서 1, 2, 3은 1000 ppm이상까지 급격하게 올라갔으나 바닥면 대비 4% 환기 시에는 누출과 동시에 다른 확산이 빠르게 진행되어 센서 1, 2, 3에 집중되지 않고 모든 센서가 위치한 지점에 골고루 확산된 것을 확인하였다. 따라서 환기구의 크기가 증가할수록 내부에서 확산이 빠르게 진행되어 수소가 일정한 지점에 집중

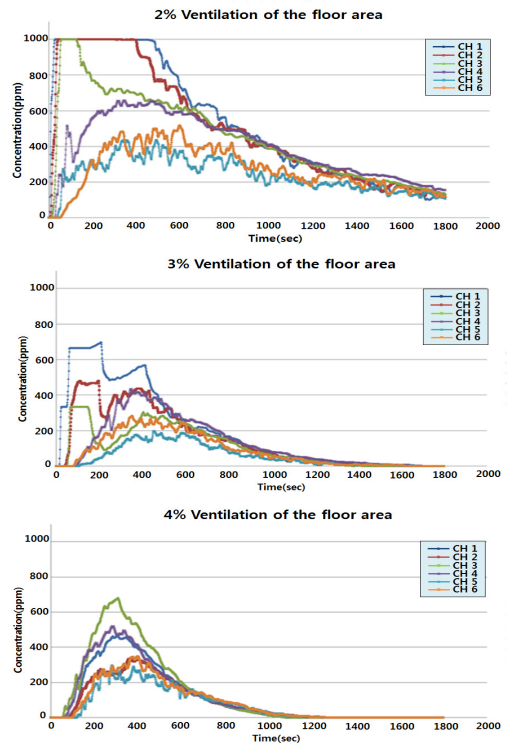


Fig. 3 Ventilation Tests according to the Sizes of Vents

되는 현상을 막을 수 있을 것으로 예측하고 있다.

3.2 환기구 위치 영향 분석

환기구 위치에 따른 수소 누출 상황에 대한 영향을 분석하기 위해 위치별 Type을 4가지로 분류하였

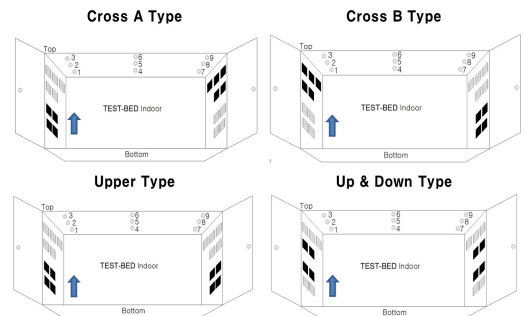


Fig. 4 4 Types of Vents in Test-Bed

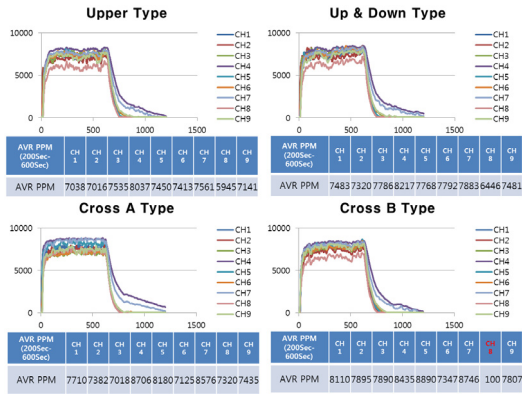


Fig. 5 Results of Hydrogen Leakage (1 LPM) in Test-Bed

다. 검은 색으로 되어 있는 네모는 닫힌 상태이며, 흰 색으로 된 네모는 열린 상태를 말한다. 4가지 Type으로 분류한 후 임의로 각각의 Type에 대해 이름을 부여하였다. 기본적으로 밀폐 공간에서의 유동을 파악하기 위하여 환기구를 모두 닫은 상태에서 먼저 실험을 진행하였고, 그 다음 4가지 Type의 환기 조건에 따라 실험을 진행하였다.

3.2.1 수소 1 LPM 누출 실험 결과

수소 누출량을 1 LPM으로 하고, 4가지 환기 Type별로 실험한 결과는 Fig. 5와 같다. 9개의 센서가 수소 누출을 감지한 결과는 CH 1부터 CH 9까지 그래프로 나타나 있고, 표로 나타난 수치는 센서가 감지한 수소량이 Saturation 되었을 때를 기준으로 하여 200 sec부터 600 sec까지의 데이터를 평균한 값을 나타낸 것이다. 실험 결과를 보면 먼저, 왼쪽 상단부와 오른쪽 상단부의 환기구가 열린 상태인 Upper Type 결과에서는, CH 4의 데이터가 가장 높은 것을 확인할 수 있고, CH 8의 데이터가 가장 낮은 것을 확인할 수 있다. 두 번째로 왼쪽 및 오른쪽 상단부의 일부분과 왼쪽 및 오른쪽 하단부의 일부분의 환기구가 열린 상태인 UP & Down Type의 결과에서도 역시 CH 4의 데이터가 가장 높은 것을 확인할 수 있고, CH 8의 데이터가 가장 낮은 것을 확인할 수 있다. 세 번째로 왼쪽 상단부와 오른쪽 하단부의 환기구가 열린

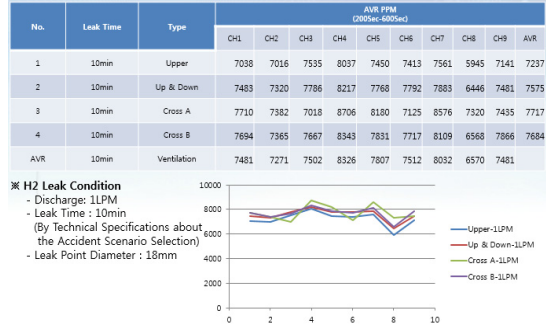


Fig. 6 Total Results of Hydrogen Leakage (1 LPM) in Test-Bed

상태인 Cross A Type의 결과에서는 CH 4의 데이터가 가장 높은 것을 확인할 수 있고, CH 3의 데이터가 가장 낮은 것을 확인할 수 있다. 마지막으로 왼쪽 하단부와 오른쪽 상단부의 환기구가 열린 상태인 Cross B Type의 결과에서는 CH 4의 데이터가 가장 높은 것을 확인할 수 있고, CH 8의 데이터가 가장 낮은 것을 확인할 수 있다. 수소 누출량이 1 LPM일 때 실험을 진행한 실험 결과를 정리하면, 4가지 Type의 환기 조건이 큰 차이를 보이지는 않지만 평균 데이터 수치를 비교하였을 때 왼쪽 및 오른쪽 상단부의 환기구가 열린 상태인 Upper Type이 대부분의 시간에서 가장 낮은 농도를 감지한 것을 확인할 수 있었다.

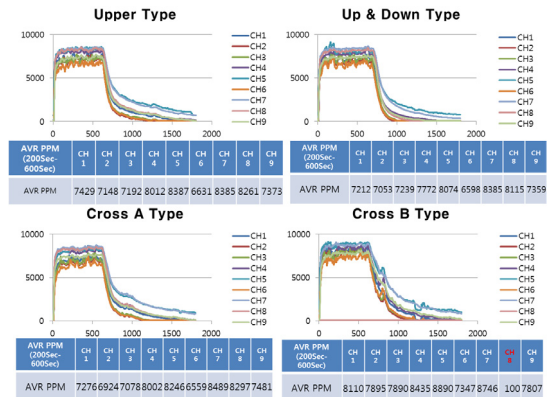


Fig. 7 Results of Hydrogen Leakage (1.5 LPM) in Test-Bed

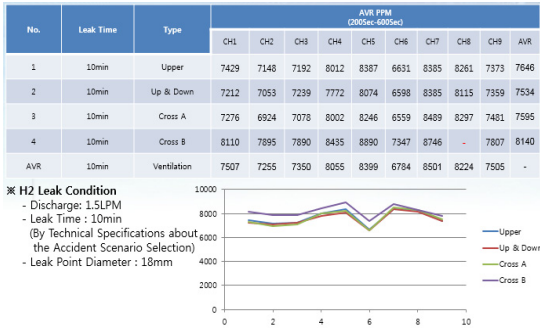


Fig. 8 Total Results of Hydrogen 1.5 LPM Leakage in Test-Bed

3.2.2 수소 1.5 LPM 누출 실험 결과

전산해석 데이터 신뢰성 확보 및 데이터 분석의 용이함을 위하여 수소 누출량을 1.5 LPM으로 같은 실험을 진행하였다. 먼저 왼쪽 상단부와 오른쪽 상단부의 환기구가 열린 상태인 Upper Type 결과에서는 CH 4의 데이터가 가장 높은 것을 확인할 수 있고, CH 6의 데이터가 가장 낮은 것을 확인할 수 있다. 두 번째로 왼쪽 및 오른쪽 상단부의 일부분과 왼쪽 및 오른쪽 하단부의 일부분의 환기구가 열린 상태인 UP & Down Type의 결과에서는 CH 7의 데이터가 가장 높은 것을 확인할 수 있고, CH 6의 데이터가 가장 낮은 것을 확인할 수 있다. 세 번째로 왼쪽 상단부와 오른쪽 하단부의 환기구가 열린 상태인 Cross A Type의 결과에서는 CH 7의 데이터가 가장 높은 것을 확인할 수 있고, CH 6의 데이터가 가장 낮은 것을 확인할 수 있다. 마지막으로 왼쪽 하단부와 오른쪽 상단부의 환기구가 열린 상태인 Cross B Type의 결과에서는 실험 중 CH 8의 경우 센서 고장으로 인하여 데이터 오류가 발생하였다. 나머지 센서들의 데이터 값을 비교한 결과, 이 Type은 CH 5의 데이터가 가장 높은 것을 확인할 수 있고, CH 6의 데이터가 가장 낮은 것을 확인할 수 있다.

수소 누출량이 1.5 LPM일 때 실험을 진행한 실험 결과를 정리하면, Cross B Type을 제외한 3가지

Type의 환기 유형은 비슷한 그래프 형상을 나타내 큰 차이를 보이지 않았다. 수소 누출량이 1 LPM일 때와 1.5 LPM일 때 데이터를 비교해 보면, 감지되는 수소 농도의 수치는 큰 차이를 보이지 않았다. 하지만 수소가 다량으로 누출된 상황에서는 상기의 결과와는 다르게 나올 수 있을 것이라 예상되며, 그 결과에 따라 최적화된 환기 구조를 설계할 수 있을 것으로 판단된다.

4. 결 론

본 논문에서는 울산 수소타운 내 정압기실의 환기구 위치 및 센서 위치에 대한 분석 후 실증 실험을 통해 정압기실 안전관리의 효율 향상 및 방향성을 제시하고자 하였다.

정압설비 부분은 현재 적용되고 있는 가스누출경보기 및 가스누출검지기, 자연환기설비 등에 대해 분석하고 센서 위치 및 환기구 위치에 따른 영향을 파악 및 분석하기 위해 Test Bed에서 실증실험을 진행하였다. 수소 가스가 1 LPM이 누출되었을 때 Upper Type이 수소 농도를 감지한 수치가 가장 낮은 형태를 보였으며, 1.5 LPM이 누출되었을 때는 Cross B Type이 수소 농도를 감지한 수치가 가장 높은 형태를 보였다. 수소 누출이 이루어지는 부분인 Leak Point와 가까운 부분의 환기구 상단부가 개방된 상태인 Cross A Type, Upper Type, Up & Down Type 등에서는 최소 농도 값을 보였고, Leak Point와 가까운 부분의 환기구 상단부가 막혀 있는 Cross B Type의 경우 상대적으로 높은 농도 값을 보였다. 이 결과는 1 LPM에서의 결과와 같이 다른 가스에 비하여 분자량이 작고 확산속도가 큰 수소의 특성상 상단부에서의 환기가 더 잘 이루어지고 있는 것으로 판단된다. 수소 센서의 위치 역시 분석한 바와 같이 천정에 최대한 가까운 위치에 설치해야 할 것으로 판단된다.

특히 실내 설치되는 수소검지기의 기능, 구조, 설

치장소, 설치개수 등의 안전장치에 대한 추가 검증을 통한 지침 개정이 필요할 것으로 판단된다. 즉, 수소 검지기는 수소 누출 가능성이 높은 배관 이음배 부분에 설치하고, 천장에 최대한 가깝게 설치해야 하고 폭발하한계의 1/4에 경보가 설정되고 1/2에서는 공급배관이 차단되는 구조를 가져야 하는 등 좀 더 세부적인 안전성 검증연구가 추가적으로 이루어져야 할 것으로 판단된다. 또한, 정압기의 이상 압력에 대한 설정압력이 정해져 있지 않아 지침을 적용하는데 어려움이 있을 것으로 판단된다. 따라서 압력 설정의 상한 값 또는 하한 값 등이 현재 수소타운에 적용할 수 있을지 에 대한 여부와 상용압력 설정, 그 밖의 경우에 대한 각각의 압력 설정 값 운영 가능성 여부에 대한 분석이 필요할 것으로 판단된다.

본 연구에 제시된 안전관리 기술 개발 방향은 울산 수소타운 내 수소 정압기실 및 사용시설의 안전 관리 효율성 증대에 기초 자료로 활용이 가능할 것으로 기대하며 나아가 국내 수소타운 및 수소 이용 기기, 시설의 보급 활성화에도 도움이 될 수 있을 것으로 판단된다.

후 기

본 연구는 2013년도 산업통상자원부의 재원으로 한국에너지기술평가원(KETEP)의 지원을 받아 수행한 연구과제입니다. (No.20132010500010)

References

1. S.J. Peighambardoust, S. Rowshanzamir, "Review of the proton exchange membranes for fuel cell applications", *J. Hydrogen energy*, Vol. 35, No. 17, 2010, pp. 9349-9384.
2. H. Buchner, "The hydrogen/hybrid energy concept", *J. Hydrogen energy*, Vol. 3, No. 4, 1978, pp. 385-406.
3. Cheekatamarla Praveen K, Finnerty C.M, "Reforming catalysts for hydrogen generation in fuel cell applications", *J. Power Sources*, Vol. 160, No. 1, pp. 490-499.
4. Youngdoo Kim, Jin Hyun Nam, Donghooon Shin, Tae-Yong Chung, Young-Gyu Kim, "Computational fluid dynamics simulations for hydrogen dispersion and exhaust in residential fuel cell systems", *Current Applied Physics*, Vol. 10, 2010, pp. S81-S85.
5. Ju-Hong Baek, Hyang-Jig Lee, Chang Bong Jang, "Comparison of H₂, LNG, and LPG explosion characteristics in a limited space using CFD Simulation", *KIGAS*, Vol. 20, No. 3, 2016, pp. 12-21.
6. Hang-Soo Woo, "Status of Pilot Projects in Ulsan Hydrogen Town", *Journal of the Electric World*, Vol. 8, No. 452, 2014, pp. 35-51.
7. Duk-Gwon Lee, Doo-Hyun Heo, Sun-Kyu Lee, Jung-Woon Lee, Geun-Jun Lyu, Yeon-Jae Lee, Hie-Sik Kim, "An Analysis of Safety Management Items for Low Pressure Hydrogen Facility below 0.1 MPa in Domestic Hydrogen Town", *KIGAS*, Vol. 19, No. 6, 2015, pp. 85-91.
8. Korea Gas Safety Corporation, Facility/ Technical/ Inspection Code for Urban Gas Using Facilities, KGS FU551, 2016.
9. Korea Gas Safety Corporation, Facility/ Technical/ Inspection/Safety Diagnosis Code for Pipes Outside of Producing and Supplying Places of Urban Gas Business, KGS FS551, 2016.
10. Korea Gas Safety Corporation, Facility/ Technical/ Inspection Code for Governors of General Urban Gas Business, KGS FS552, 2015.
11. Jaehoon Cho, Hyunseung Kim, Tae-Ok Kim, Dongil Shin, "Optimal Sensor Placement of Boundaries and Robustness Analysis for Chemical Release Detection and Response of near Plant", *KIGAS*, Vol. 20, No. 5, 2016, pp. 104-111.
12. Jaehoon Cho, Hyunseung Kim, Taek Kim, Dongil

- Shin, "Optimal Sensor Placement for Rapid Detecting in Chemical Leak Accident", KIGAS, Vol. 20, No. 2, 2016, pp. 66-71.
13. National Institute of Chemical Safety, "Technical Specifications about the Accident Scenario Selection", 2014.
14. Korea Meteorological Administration, Domestic Weather Average Data of Seoul and Gyeonggi-do from 1981 to 2010.